

نشریه علمی مکانیک سازه ها و شاره ها



DOI: 10.22044/jsfm.2022.10750.3384

بررسی مشخصات موج و مقاومت موجی یک جسم زیرسطحی به همراه سطح کنترل در نزدیکی سطح آزاد

علی اکبر ملتانی شاهرخت^۱، محمود پسندیده فرد^{۲*} و محمد جواد مغربی^۳

^۱ دانشجوی دکتری مهندسی مکانیک، دانشگاه فردوسی مشهد

^۲ استاد مهندسی مکانیک، دانشگاه فردوسی مشهد

^۳ استاد مهندسی مکانیک، دانشگاه فردوسی مشهد

مقاله مستقل، تاریخ دریافت: ۱۴۰۰/۰۹/۱۷؛ تاریخ ارزیابی: ۱۴۰۰/۰۹/۱۷؛ تاریخ پذیرش: ۱۴۰۰/۱۲/۲۶

چکیده

اجسام زیرسطحی در کاربردهای صنعتی دارای سطوح کنترل مختلفی برای پایداری، مانورپذیری، هدایت و کنترل می‌باشند. این سطوح کنترل، مشخصات هیدرودینامیکی جسم، شامل نیروهای مقاومت و شکل موج ایجاد شده ناشی از حرکت جسم، نزدیک سطح آزاد را تحت تأثیر قرار می‌دهند. در این مقاله، اثر یک سطح کنترل عمودی روی مشخصات هیدرودینامیکی یک جسم زیرسطحی، در نزدیکی سطح آزاد با استفاده از روش المان مرزی بررسی شده است. نتایج شامل مشخصات موج سطح آزاد، ضربی فشار و مقاومت موجی در بازه اعداد فرود ۰/۱ تا ۰/۵ و برای عمق‌های غوطه‌وری بی بعد ۱/۲۵، ۲/۲۵ و ۴/۵ برای مدل ساده و مدل با سطح کنترل محاسبه شده‌اند. مقایسه نتایج روش المان مرزی و تجربی، اختلاف کمتر از ۳ درصدی نتایج برای حداکثر طول موج سطح آزاد و ۱۷ درصدی برای مقاومت موجی را نشان می‌دهد. نتایج پیش‌بینی شده نشان می‌دهد که سطح کنترل موجب افزایش حدود ۱۳ درصدی حداکثر ارتفاع موج سطح آزاد و ۱۶ درصدی مقاومت موجی می‌شود. این افزایش، بواسطه برهم‌کنش بین مدل و سطح کنترل و همچنین نسبت مستقیم مقاومت موجی با ارتفاع موج سطح آزاد است.

کلمات کلیدی: روش المان مرزی؛ سطح آزاد؛ مشخصات موج؛ مقاومت موجی؛ سطح کنترل.

Investigation of Wave Characteristics and Wave Resistance of an Underwater vehicle with Control Surface Near the Free Surface

A.A. Moltani Shahrakht¹, M. Pasandideh Fard^{2*}, M.J. Maghrebi³

¹ Ph.D. Student, Mech. Eng., Ferdowsi Univ of Mashhad., Mashhad, Iran.

² Prof., Mech. Eng., Ferdowsi Univ of Mashhad., Mashhad, Iran.

³ Prof., Mech. Eng., Ferdowsi Univ of Mashhad., Mashhad, Iran.

Abstract

Underwater vehicles in industrial applications, have various control surfaces for stability, maneuverability, guidance and control. These control surfaces affect the body hydrodynamic characteristics, including the resistance forces and the form of the generated wave due to the motion of the vehicle near the free surface. In this paper the effect of a vertical control surface on the hydrodynamic characteristics of an underwater vehicle near free surface is studied using Boundary Element Method. Results, including characteristics of free surface wave, pressure coefficient and wave resistance are calculated for Froude numbers in the range of 0.1-0.5 and nondimensional submergence depths of 1.25, 2.25, 3.5 & 4.5 for the bare model and model with control surface. Comparing BEM and experimental results shows the discrepancy of less than 3% for maximum free surface wave height and 17% for wave resistance. Predicted results indicates that control surface causes an increase of about 13% in maximum free surface wave height and 16% in wave resistance. This increment is due to the interaction of the main body with control surface and also direct relation of wave resistance with free surface wave height.

Keywords: Boundary Element Method; Free Surface; Wave Characteristics; Wave Resistance; Control Surface

۱- مقدمه

مدت بسیار کمتری نسبت به روش حجم سیال فراهم می‌کند؛ اما کاربرد این روش نیازمند در نظر گرفتن فرضیاتی است. این روش فرض می‌کند، جریان، غیر قابل تراکم، غیر لرج، پایا و غیر چرخشی است. با توجه به این فرضیات، علیرغم این که این روش برای محاسبه نیروی مقاومت موجی و موج سطح آزاد دقت بالایی دارد، اما با این روش نمی‌توان نیروی مقاومت ناشی از لزجت سیال را بدست آورد؛ همچنین کاربرد این روش محدود به حالتی است که جسم زیرسطحی با سرعت ثابت در زاویه حمله صفر و مسیر مستقیم حرکت می‌کند [۳].

در سال‌های اخیر محققین زیادی به بررسی مشخصات هیدرودینامیکی جسم زیرسطحی متوجه در نزدیکی سطح آزاد، در عمق‌های غوطه‌وری و اعداد فرود مختلف با استفاده از حل عددی مبتنی بر معادلات رنز و مدل‌های آشفتگی مختلف یک و دو معادله‌ای پرداخته‌اند. جاگادیش و مورالی [۴] به بررسی اثر سطح آزاد بر ضرایب هیدرودینامیکی یک جسم متقارن محوری در اعداد رینولدز و زوایای حمله متفاوت در عمق‌های غوطه‌وری مختلف پرداختند. آن‌ها اثر تغییر مدل آشفتگی را با استفاده از دو مدل آشفتگی رینولدز بالا و یک مدل رینولدز پایین مورد بررسی قرار دادند و به این نتیجه رسیدند که مدل $\epsilon - K$ ریلایزبل^۶ در کنار روش حجم سیال^۷ بهترین عملکرد را در پیش‌بینی اثر سطح آزاد بر ضرایب هیدرودینامیکی مدل دارد. ویلسون هافندن [۵] با استفاده از مدل آشفتگی $\omega SST - K$ و آزمایشات تجربی به بررسی تغییرات نیروی پسای یک جسم زیرسطحی، ناشی از اثر سطح آزاد، در عمق‌ها و اعداد فرود مختلف پرداخت. او نتیجه گفت که در اعداد فرود پایین، اثر سطح آزاد روی نیروی مقاومت در نسبت‌های عمق غوطه‌وری به قطر بیشتر از دو ناچیز است. منصورزاده و جوانمرد [۶] با استفاده مدل آشفتگی $\epsilon - K$ و نتایج تجربی نشان دادند که ضرایب پسا و برای یک جسم زیرسطحی در نزدیک سطح آزاد، تابعی از عدد فرود و عمق غوطه‌وری جسم می‌باشند. نعمت‌اللهی [۷] با استفاده از روشی مشابه روش منصورزاده و جوانمرد، نشان داد که کاهش عمق غوطه‌وری جسم متقارن محوری منجر به

با توجه به اهمیت و کاربرد روزافرون اجسام زیرسطحی^۱ در نواحی ساحلی و نزدیک سطح، همچون جستجو، اندازه‌گیری، اکتشاف و استخراج در اقیانوس‌ها و دریاها و پایش‌ها و مراقبت‌های محیطی، مطالعات گستردگی در زمینه اثرات سطح آزاد بر مشخصات هیدرودینامیکی و دینامیک این اجسام در نزدیکی سطح آزاد صورت گرفته است؛ همچنین کنترل و مانورپذیری این اجسام، هنگامی که در محیط‌های نزدیک سطح آزاد عمل می‌کنند، بسیار بحرانی‌تر می‌شود، به طوری که ریسک بسیار بالایی در این شرایط برای افراد و خود جسم بواسطه برهم کنش بین سطح و جسم بوجود می‌آید؛ در نتیجه به منظور رسیدن به یک طراحی درست و ایمن و پیش‌بینی مانورپذیری اجسام زیرسطحی، درک درستی از هیدرودینامیک و دینامیک آن‌ها در نزدیک سطح آزاد نیاز است [۱].

نیروهای پسای وارد بر یک جسم کاملاً مغروف در آب شامل نیروهای پسای اصطکاکی و فشاری می‌باشند؛ اما هنگامی که جسم به سطح آزاد نزدیک می‌شود، در نتیجه برهم‌کنش بین جسم و سطح آزاد، امواجی روی سطح آزاد تولید می‌شود که انرژی مورد نیاز برای تولید این امواج سطحی منجر به افزایش نیروی مقاومت جسم زیرسطحی می‌شود [۲]. به نیروی مقاومت ناشی از امواج سطح آزاد نیروی مقاومت موجی^۲ گفته می‌شود.

تحقیقات گستردگی از دیرباز تاکنون با استفاده از روش‌های تحلیلی، عددی و تجربی برای یافتن ضرایب هیدرودینامیکی اجسام زیرسطحی در نزدیکی سطح آزاد انجام شده است. در این میان دو روش عددی معمول برای پیش‌بینی و تحلیل جریان سیال حول یک جسم زیرسطحی در نزدیکی سطح آزاد، روش حجم سیال^۳ مبتنی بر معادلات رنز^۴ و روش مبتنی بر تئوری جریان پتانسیل^۵ می‌باشند. مزیت روش جریان پتانسیل این است که از نظر محاسباتی بازدهی بسیار بالایی دارد و قابلیت رسیدن به جواب را در

¹ UVs

² Wave Making Resistance

³ volume of Fluid (VoF)

⁴ Reynolds-Averaged Navier-Stokes

⁵ Potential Flow (PF)

⁶ Realizable
⁷ VOF Method

پایداری جسم افزایش می‌یابد که موجب کاهش قابلیت مانور آن می‌شود.

اگرچه با پیشرفت کامپیووترها در سال‌های اخیر، تمايل محققین به استفاده از حل عددی مبتنی بر معادلات رنگ برای بررسی هیدرودینامیک اجسام زیرسطحی در نزدیکی سطح آزاد، افزایش یافته است، اما همچنان هزینه محاسباتی مورد نیاز شامل سیستم‌های کامپیووتری و زمان بر بودن حل‌های فوق، توجیه لازم را برای استفاده از روش‌های مبتنی بر جریان پتانسیل فراهم می‌کند. عدم نیاز به سیستم‌های کامپیووتری پیشرفت‌هه و زمان لازم برای حل مسئله که صدها برابر کمتر از روش‌های مبتنی بر معادلات ناولر استوکس است، در کنار نتایج دقیقی که با استفاده از این روش با در نظر گرفتن فرضیات حاکم بر مسئله بدست می‌آید، موجب شده است که تمايل محققین به کاربرد این روش افزایش یابد.

از طرفی، با توجه به اینکه لزجت سیال، منجر به ایجاد مقاومت اصطکاکی می‌شود، با در نظر گرفتن فرض غیر لزج بودن جریان، روش‌های مبتنی بر جریان پتانسیل، قابلیت محاسبه نیروی مقاومت ناشی از لزجت سیال را ندارند؛ اما تشکیل موج سطح آزاد و وجود مقاومت موجی، تابع مستقیم وزن سیال روی جسم زیر سطح آزاد است [۱۳]، در نتیجه استفاده از روش‌های مبتنی بر تئوری جریان پتانسیل (غیر لزج) برای یافتن مقاومت موجی و موج سطح آزاد بسیار مناسب به نظر می‌رسد.

شروع تحقیقات بر روی مشخصات موج تولیدی توسط اجسام زیرسطحی مغروف با استفاده از تئوری جریان پتانسیل به اوایل قرن بیستم توسط لامپ بر می‌گردد [۱۴]. تمرکز کار ایشان روی ارتفاع موج تولید شده توسط یک سیلندر مغروف در عمق کم در سیال با عمق بی‌نهایت بود. نتایج کار لامپ به عنوان اولین تحقیق در این زمینه توسط فارل [۱۵] برای محاسبه نوسانات سطح آزاد، بواسطه برهم‌کنش با جسم زیرسطحی مورد استفاده قرار گرفت. هاولاک [۱۶-۱۸] ضرایب مقاومت موج‌سازی^۶ مربوط به کره، بیضی دوار^۷ پهن و کشیده و بیضی‌گون^۸ را به دست آورد و نشان داد، این

افزایش ضریب پسا می‌گردد و علاوه بر این اثر سطح آزاد در هر عمق غوطه‌وری جسم زیرسطحی با افزایش عدد رینولدز بیشتر می‌شود. سالاری و راوا [۸] با استفاده از مدل آشفتگی $K - \omega SST$ نشان دادند که علاوه بر ضریب پسای یک جسم زیرسطحی در نزدیکی سطح آزاد، ضرایب لیفت و گشتاور پیچشی آن نیز با کاهش عمق غوطه‌وری جسم افزایش می‌یابند. شریعتی و موسوی زادگان [۹] به بررسی مقاومت و شکل موج تولیدی سطح آزاد آب در اثر حرکت یک مدل زیرسطحی با انجام آزمایشات و محاسبات عددی پرداختند و تأثیرات متقابل بازو و جسم زیرسطحی را با استفاده از دینامیک سیالات محاسباتی بررسی و تعیین کردند. نتایج آن‌ها نشان می‌دهد که اثر بازوی اتصال بر روی نیروی مقاومت، غیرخطی بوده و روش جمع آثار معتبر نمی‌باشد. مالی امیری [۱۰-۱۱] با استفاده از مدل آشفتگی تنش رینولدز نشان داد که افزایش نیروهای هیدرودینامیکی با کاهش عمق غوطه‌وری را می‌توان ناشی از اثر تغییرات سطح آزاد بر توزیع فشار دینامیکی اطراف جسم زیرسطحی دانست. بر این اساس نقاط تقرع و تحدب سیستم موج تشکیل شده باعث تغییر توزیع فشار دینامیکی اطراف جسم زیرسطحی و تغییر نیروهای وارد بر جسم می‌گردد. مالی امیری [۱۰] با استفاده از همین روش نشان داد، برای یک جسم زیرسطحی در نزدیکی سطح آزاد، برهم‌کنش بین امواج ناشی از قسمت‌های جلو و عقب جسم^۹ اثر غالب را بر ضرایب ضرایب پسا، برا و گشتاور پیچشی جسم دارد. مالی امیری [۱۲] همچنین با استفاده از مدل آشفتگی تنش رینولدز، به بررسی اثر سطح آزاد بر قابلیت مانور یک جسم متقاضی محوری زیرسطحی، در یک صفحه افقی در نزدیکی سطح آزاد پرداخت. نتایج او نشان می‌دهد که رفتار نیروهای عرضی^{۱۰} و گشتاور یاو^{۱۱} ناشی از ناحیه انتهایی جسم، باعث کاهش شدید پایداری جسم در بیشتر عمق‌های غوطه‌وری می‌گردد؛ همچنین با نزدیک شدن جسم به سطح آزاد،

¹ Bow

² Aft Shoulder

³ Stern

⁴ Lateral Force

⁵ Yaw

⁶ Wave-Making Resistance

⁷ Spheroid

⁸ Ellipsoid

زیرسطحی متقارن محوری و سطح آزاد پرداخت. نتایج ایشان علاوه بر نشان دادن نوسانی بودن ضرایب مقاومت موجی، لیفت و گشتاور پیچشی با تغییر عدد فرود، بیان می‌کند که این ضرایب به طور مستقیم متأثر از طول موج ایجاد شده در سطح آزاد ناشی از حرکت جسم زیرسطحی می‌باشند.

در میان تحقیقات انجام شده در زمینه اثر سطح آزاد بر یک جسم زیرسطحی متحرک در نزدیکی سطح آزاد، تقریباً تاکنون مطالعه‌ای روی اثر سطح کنترل بر مشخصات هیدرودینامیکی اجسام زیرسطحی در نزدیکی سطح آزاد انجام نشده است و مطالعات انجام شده محدود به بررسی اثر برهمکنش جسم و سطح آزاد روی ضرایب هیدرودینامیکی و دینامیکی جسم زیرسطحی و موج تشکیل شده روی سطح آزاد برای یک جسم ساده^۴ بدون در نظر گرفتن سطح کنترل کنترل بوده است. این در حالی است که در کاربردهای صنعتی به دلیل وجود سیستم‌های هدایت و کنترل، نیاز به وجود سطوح کنترل مختلف امری لازم و اجتناب ناپذیر است؛ لذا با توجه به خلاصه موجود در این زمینه، مهمترین نوآوری کار حاضر، بررسی اثر اضافه کردن یک سطح کنترل عمودی^۵ روی مقاومت موجی، و موج سطح آزاد یک مدل متقارن محوری (مدل استاندارد جوبرت^۶) با استفاده از روش المان مرزی مبتنی بر جریان پتانسیل است. مقاومت موجی، شکل و ارتفاع موج سطح آزاد و توزیع فشار بر روی جسم، در دو حالت بدون سطح کنترل و با وجود سطح کنترل بدست می- آیند. محاسبات در عمق‌های مختلف برای حالت بدون سطح کنترل و با وجود سطح کنترل انجام می‌گیرد. به منظور بررسی اثر تغییر عمق غوطه‌وری جسم، پارامتر عمق بی بعد به صورت $\frac{h}{D}$ تعریف می‌شود که h عمق غوطه‌وری جسم و D حداقل قطر جسم زیرسطحی می‌باشند. محاسبات برای جسم در حالت بدون سطح کنترل در عمق‌های بی بعد ۱/۰۲، ۱/۰۵، ۱/۰۷، ۲/۲۵ و ۳/۰۵ انجام می‌گیرد و در حالتی که سطح کنترل به جسم اضافه می‌گردد، به دلیل برخورد سطح کنترل با سطح آزاد در عمق بی بعد ۱/۰۲، تحلیل در همه عمق‌های بی بعد بالا به جز ۱/۰۲ انجام می‌شود. فرض می‌شود، سرعت

ضرایب رفتاری نوسانی با تغییر عدد فرود از خود نشان می-دهند و با افزایش عمق به صورت نمایی کاهش می‌یابند. هس و اسمیت [۱۹] روش المان بنده سطح^۱ را برای اجسام کاملاً معروف با استفاده از چشم‌های رانکین^۲ ارائه کردند. در این روش جسم به پنل‌هایی که هر کدام تراکم چشم‌های کنواختی دارند گسسته می‌شود. باتاچاریا [۲۰] روش هس و اسمیت را با روابط پتانسیل چشم‌های هاولک برای محاسبه مقاومت موجی ترکیب کرد. این مسئله نیومن-کلوین^۳ نامیده می‌شود، شود، به طوری که شرط مرزی دقیق (نیومن) روی جسم را با شرط مرزی خطی (کلوین) روی سطح آزاد ترکیب می‌کند. این دیدگاه در ادامه توسط نویسنده‌گان مختلفی چون جوول [۲۱] و هانگ [۲۲] نیز مورد استفاده قرار گرفته است. فارل به تحلیل عددی جسم بیضی‌گون دوکی‌شکل در نسبت‌های طول به قطر متفاوت با استفاده از تئوری پتانسیل و روش نیومن-کلوین پرداخت. وایلی [۲۳]، داکترز و بک [۲۴] و کروک [۲۵] نشان دادند، به یک جسم متقارن محوری با نسبت طول به قطر بالا که با سرعت ثابت و زاویه حمله صفر در نزدیکی سطح حرکت می‌کند، علاوه بر مقاومت موجی، نیروی لیفت و گشتاور پیچشی نیز وارد می‌شود. ایشان همچنین بیان کردند، همه نیروهای فوق با تغییر عدد فرود به صورت نوسانی تغییر می‌کنند.

حل می‌بینی بر جریان پتانسیل، در سالیان اخیر نیز توسط محققین زیادی همچون بلیساکیس [۲۶]، گورالی و داسون [۲۷]، آرزانیکوف و کوتلنیکوف [۲۸]، بنویسیگلیو [۲۹]، ساوت و آنانتاکریشنام [۳۰] و نابلس [۳۱] برای ارزیابی اثر سطح آزاد روی مشخصات هیدرودینامیکی اجسام متحرک با سرعت ثابت، در زاویه حمله صفر و مسیر مستقیم در نزدیکی سطح آزاد به کار گرفته شده است. نتایج حاصل از این تحقیقات روند مشابهی برای ضرایب هیدرودینامیکی با آنچه افرادی چون هاولک، وایلی، داکترز و بک و کروک بدست آورده‌اند، نشان می‌دهد. علاوه بر این موارد، داسون [۱] با استفاده از تست‌های تجربی به همراه مطالعه عددی (با استفاده از تئوری جریان پتانسیل) به بررسی اثر عمق، عدد فرود و نسبت طول به قطر روی برهمکنش بین یک جسم

⁴ Bare Hull

⁵ Sail

⁶ Joubert

¹ Panel Method

² Rankine

³ Neumann-Kelvin

فرضیات اساسی حاکم بر جریان پتانسیل، شامل فرض جریان غیرلزج، غیرقابل تراکم، غیر چرخشی و پایا می‌باشند؛ همچنین کاربرد این روش برای مسئله حاضر محدود به حالتی است که جسم زیرسطحی با سرعت ثابت در زاویه حمله صفر و مسیر مستقیم (بدون هیچ گونه مانور) حرکت کند.

معادله لاپلاس معادله حاکم بر جریان‌های پتانسیل است. اگرچه امکان حل مستقیم این معادله وجود دارد، اما به دلیل هزینه محاسباتی بالا و پیچیدگی‌های حل عددی آن، از روش‌های جایگزین حل کامل معادله لاپلاس، مانند روش المان مزدی بر مبنای تئوری گرین استفاده می‌شود. در تئوری گرین، انتگرال حجمی پتانسیل به انتگرال سطحی روی مرزهای حوزه حل تبدیل می‌شود. بر این اساس، مطابق رابطه ۲ پتانسیلی تحت عنوان "پتانسیل اختلالی" تعریف می‌شود که پتانسیل جریان آزاد را از بقیه اجزای پتانسیلی حوزه حل تفکیک می‌کند.

$$\Phi = \emptyset + U_{\infty}x \quad (2)$$

در رابطه (۲) $\Phi(x, y, z)$ پتانسیل کل^۲، $\emptyset(x, y, z)$ پتانسیل اختلالی^۳ در هر نقطه از میدان حل و عبارت $U_{\infty}x$ پتانسیل جریان آزاد می‌باشد. با توجه به فرض غیرچرخشی بودن جریان سیال، پتانسیل کل از طریق رابطه (۳) تعریف می‌شود.

$$U = \nabla \Phi \quad (3)$$

در این رابطه $U = U(x, y, z)$ توزیع سرعت سه بعدی در میدان حل است.

پتانسیل کل و پتانسیل اختلالی باید معادله لاپلاس را در حوزه حل ارضا نمایند.

$$\nabla^2 \Phi = \nabla^2 \emptyset = 0 \quad (4)$$

با اعمال تئوری سوم گرین بروی رابطه (۴) برای جسم و سطح آزاد در دامنه حل، رابطه انتگرالی زیر برای پتانسیل اختلالی روی سطح جسم و سطح آزاد حاصل می‌شود:

$$\Phi = \frac{1}{2\pi} \int_{S_b + S_{FS}} \left(\phi \frac{\partial G}{\partial n} - G \frac{\partial \phi}{\partial n} \right) ds \quad (5)$$

در رابطه فوق G تابع گرین ($G = \frac{1}{r}$)، S_b و S_{FS} به ترتیب مرزهای جسم و سطح آزاد و n بردار یکه عمود بر سطح

جریان ثابت باشد و مقدار سرعت طوری انتخاب شده است که عدد فرود جریان مطابق رابطه (۱) بین $0/1$ تا $5/0$ باشد.

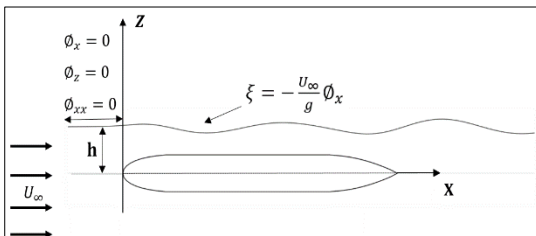
$$Fr_L = \frac{U_{\infty}}{\sqrt{gL}} \quad (1)$$

در این رابطه U_{∞} سرعت جریان آزاد، $(\frac{m}{s})$ $g = 9.81$ شتاب گرانش و L طول جسم می‌باشد. ارتفاع سطح کنترل در تحلیل‌ها برابر 140 میلیمتر در نظر گرفته شده است. مدل زیرسطحی جوپرت و ابعاد آن در حالات با و بدون وجود سطح کنترل در شکل ۴-الف و ب نشان داده شده‌اند.

برای تحلیل جریان حول جسم در نزدیکی سطح آزاد، از یک روش تکرار مبتنی بر تئوری گرین^۱ استفاده می‌شود. در این روش، جسم و سطح آزاد به عنوان دو مسئله جدا در نظر گرفته می‌شوند و سطح جسم و سطح آزاد با المان‌هایی شامل چشم و دوگان تقریب زده می‌شوند. سپس اثرات جسم و سطح آزاد روی یکدیگر با مقادیر پتانسیل القایی هر کدام روی دیگری محاسبه می‌شود. با حل عددی معادله انتگرال‌ها، مقادیر مجهول پتانسیل‌های اختلالی روی سطح آزاد و جسم بدست می‌آید و در هر تکرار اصلاح می‌شود تا مسئله همگرا شود.

۲- فرضیات مسئله و معادلات حاکم

شکل ۱ نمای دو بعدی یک جسم متقارن محوری زیرسطحی متحرک در نزدیکی سطح آزاد (هنده اصلی مسئله حاضر) را نشان میدهد که در معرض جریان ورودی یکنواخت از سرعت U_{∞} قرار گرفته است. سطح آزاد آرام در فاصله از $z=h$ محور جسم قرار گرفته است.



شکل ۱- نمای دو بعدی جسم زیرسطحی مغروف در نزدیکی سطح آزاد و موج حاصل از حرکت جسم

²Total Velocity Potential

³Perturbation Potential

¹ Green's Theorem

ج- حل معادله (۸) با قرار دادن مقادیر پتانسیل از مرحله الف و ϕ_b از مرحله ب و بدست آوردن مقادیر جدید پتانسیل اختلالی در میدان حل.

د- بدست آوردن مقدار جدید \emptyset_{FS} از معادله (۷) با استفاده از مقادیر جدید پتانسیل اختلالی از قسمت ج.

ه- حل مجدد معادله (۹) با در نظر گرفتن مقدار جدید ϕ_{FS} .

و- تکرار مراحل بالا تا رسیدن به شرایط همگرایی حل به صورتی که اختلاف بین مقادیر پتانسیل حاصل از معادلات ۸ و ۹ ناچیز گردد.

۳- شرایط مرزی

شرایط مرزی زیر در معادلات ذکر شده در قسمت قبل باید توسطتابع پتانسیل ارضا شوند:

الف- شرط مرزی سینماتیکی بر روی سطح جسم: بر اساس شرط نفوذ ناپذیری سطح، جریان هیچ مولفه عمودی بر سطح جسم ندارد.

$$\frac{\partial \Phi}{\partial n} = 0 \rightarrow \frac{\partial \emptyset}{\partial n} = -\vec{U}_\infty \cdot \vec{n} \quad (10)$$

که \vec{n} بردار یکه نرمال بر سطح جسم است.

ب- شرط مرزی سینماتیکی سطح آزاد: این شرط بیان می کند که ذرات سیال می بایست سطح آزاد را دنبال کنند.

$$\frac{\partial \emptyset}{\partial z} = U_\infty \cdot \frac{\partial \xi}{\partial x} \quad z = h \quad (11)$$

در رابطه فوق x و z به ترتیب مختصات افقی و عمودی (مطابق شکل ۱) و (x, y, z) منحنی موج سطح آزاد می باشند.

ج- شرط مرزی دینامیکی سطح آزاد: طبق این شرط، می بایست فشار روی سطح آزاد برابر فشار اتمسفر باشد. با نوشتن معادله برنولی روی سطح آزاد و صرف نظر کردن از

ترمehای مرتبه دوم رابطه (۱۲) حاصل می شود:

$$\frac{\partial^2 \emptyset}{\partial x^2} + k \frac{\partial \emptyset}{\partial z} = 0 \quad z = h \quad (12)$$

که $k = g/U_\infty^2$ عدد موج در عمق بینی نهایت آب است.

د- شرط مرزی انتشار^۲: به منظور جلوگیری از ایجاد موج در بالادست جریان، می بایست مشتق اول و دوم پتانسیل

جسم و سطح آزاد می باشند؛ همچنین $r_1 - r_2 = r$ فاصله دو نقطه ۱ و ۲ در میدان حل است که اثر پتانسیل نقطه ۲ در نقطه ۱ احساس می شود [۲۵].

در مطالعه حاضر، یک روش المان مرزی بر پایه تکرار^۱ برای حل مسئله به کار می رود. این روش حل شامل دو قسمت می باشد: الف- قسمت مربوط به جسم که برای پتانسیل اختلالی مجھول روی سطح جسم حل می شود و ب- قسمت مربوط به سطح آزاد که برای پتانسیل اختلالی مجھول روی سطح آزاد حل می گردد. با استفاده از رابطه (۵) پتانسیل در میدان حل بواسطه اثر جسم \emptyset_b و اثر سطح آزاد \emptyset_{FS} به ترتیب طبق روابط (۶) و (۷) قابل بازنويسي می باشند.

$$\emptyset_b = \frac{1}{2\pi} \int_{S_b} \left(\phi \frac{\partial G}{\partial n} - G \frac{\partial \phi}{\partial n} \right) ds \quad (6)$$

$$\emptyset_{FS} = \frac{1}{2\pi} \int_{S_{FS}} \left(\phi \frac{\partial G}{\partial n} - G \frac{\partial \phi}{\partial n} \right) ds \quad (7)$$

با جایگذاری دو رابطه (۶) و (۷) در رابطه (۵) به ترتیب روابط (۸) و (۹) بدست می آیند.

$$\phi = \frac{1}{2\pi} \int_{S_{FS}} \left(\phi \frac{\partial G}{\partial n} - G \frac{\partial \phi}{\partial n} \right) ds + \emptyset_b \quad (8)$$

$$\phi = \frac{1}{2\pi} \int_{S_b} \left(\phi \frac{\partial G}{\partial n} - G \frac{\partial \phi}{\partial n} \right) ds + \emptyset_{FS} \quad (9)$$

معادلات انتگرالی (۸) و (۹) را می توان با یک روش المان مرزی بر پایه تکرار حل کرد. در این روش، پارامترهای \emptyset_b و \emptyset_{FS} در طول فرآیند تکرار به طور مداوم به روز می شوند. در طول فرآیند حل، جسم و سطح آزاد از طریق پتانسیل القا شده روی هم با یکدیگر در ارتباط هستند. الگوریتم حل مسئله به صورت زیر می باشد:

الف- حل معادله (۹) با در نظر گرفتن مقدار اولیه صفر برای \emptyset_{FS} .

ب- به دست آوردن پتانسیل اختلالی ناشی از جسم در میدان جریان (ϕ_b) با قراردادن مقادیر پتانسیل بدست آمده از قسمت الف در معادله (۶).

² Radiation

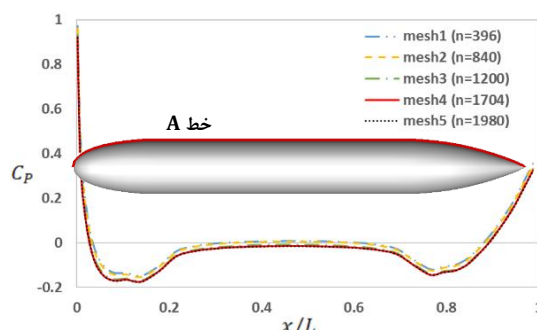
¹ Iterative BEM

بی بعد L/x در عدد فرود $0/3$ و شرایطی که جسم کاملاً مغروق^۱ است، برای بررسی استقلال از شبکه استفاده شده است. تغییرات ضریب فشار بر حسب L/x برای شبکه‌های مختلف در شکل ۲ ارائه شده است.

همانطور که در شکل ۲ نشان داده شده است، با افزایش تعداد المان سطح جسم، مقدار ضریب فشار در هر نقطه روی خط A کاهش می‌یابد. اما وقتی تعداد المان‌های سطح جسم از شبکه ۴ به شبکه ۵ افزایش می‌یابد، توزیع ضریب فشار بدون تغییر می‌ماند؛ لذا شبکه ۴ با تعداد $170/4$ المان برای جسم در همه شبیه‌سازی‌ها استفاده می‌شود.

۲-۴- استقلال از شبکه سطح آزاد

برای بررسی استقلال از شبکه سطح آزاد، با توجه به وابستگی زیاد موج سطح آزاد به شبکه سطح آزاد، حداقل ارتفاع موج برای بررسی استقلال از شبکه سطح آزاد برای ۶ شبکه مختلف در عدد فرود $0/3$ و در عمق بی بعد $1/0/2$ در خط مرکزی جسم برای مدل جوبرت مورد بررسی قرار گرفته است. شبکه ۴ بدست آمده از قسمت قبل برای سطح جسم در این قسمت نیز مورد استفاده قرار گرفته است. مشخصات شبکه‌های محاسباتی سطح آزاد در جدول ۱ آمده است. n_x تعداد المان‌های سطح آزاد در راستای x، n_y تعداد المان‌های سطح آزاد در راستای y و n_{total} تعداد کل المان‌های سطح آزاد می‌باشند. با توجه به شکل ۳، حداقل ارتفاع موج سطح آزاد با افزایش تعداد المان‌های سطح از



شکل ۲- تغییرات ضریب فشار بر حسب پارامتر بی بعد طولی در عدد فرود $0/3$ برای شبکه‌های مختلف جسم

اختلالی نسبت به جهت افق برای ناحیه بالا دست جریان روی سطح آزاد برابر صفر باشد [۲۱].

$$\frac{\partial^2 \phi}{\partial x^2} = \frac{\partial \phi}{\partial x} = 0 \quad x \rightarrow -\infty \quad (13)$$

جزئیات دلیل استفاده از این دو شرط مرزی در بالا دست جریان در مراجع [۳۳-۳۲] به تفصیل مورد بحث قرار گرفته است. هیچ شرط مرزی برای جریان در پایین دست لازم نمی‌باشد.

برای اعمال شرط مرزی سطح آزاد (رباطه (۱۲)) عبارت $\frac{\partial^2 \phi}{\partial x^2}$ را می‌توان با عبارت‌های پتانسیل روی سطح آزاد با استفاده از طرح تفاضل محدود مرتبه چهارم داسون [۳۴] بدست آورد.

۴- گسسته سازی دامنه حل

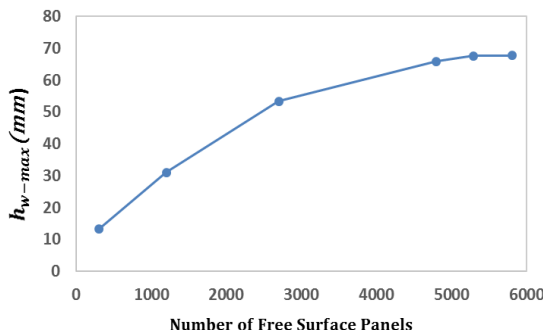
شرایط تقارن مسئله به ما این امکان را می‌دهد که فقط نیمی از جسم و سطح آزاد مدل سازی شده شبکه‌بندی گردد (شکل‌های ۴ و ۵). طول سطح آزاد (L) است. مقدار L در بالا دست جسم برای گرفتن موجی است که در بالا دست لبه حمله جسم تولید می‌شود و مقدار $4L$ در پایین دست جسم در نظر گرفته شده تا موج به میزان کافی در پایین دست لبه فرار گسترش یابد. عرض سطح آزاد برابر $2L$ در نظر گرفته شده است تا موج تولیدی ناشی از حرکت جسم، نزدیک سطح آزاد در نواحی انتهایی پایین دست جسم نیز خارج از دامنه سطح آزاد در راستای عمود بر جریان قرار نگیرد [۱].

در کار حاضر برای شبکه بندی سطح جسم و سطح آزاد فقط سلول‌های چهاروجهی با نسبت طول به عرض تا حد امکان نزدیک به یک استفاده شده است.

۴-۱- استقلال از شبکه جسم

برای استقلال از شبکه جسم، سطح مدل استاندارد جوبرت بدون سطح کنترل برای ۵ شبکه مختلف، شبکه‌بندی شده است. شبکه‌بندی جسم در نرم‌افزار گمبیت انجام می‌گیرد و آنگاه جسم شبکه بندی شده برای تحلیل در کد المان مرزی فراخوانی می‌شود. ضریب فشار (C_p) بر حسب پارامتر طولی

^۱ Fully Submerged



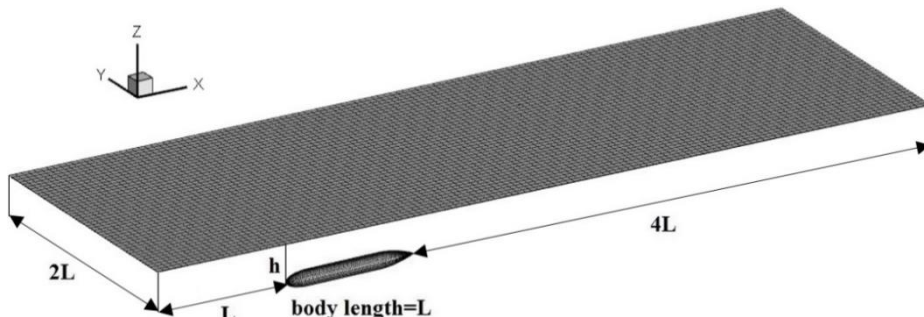
شکل ۳- حداقل ارتفاع موج بر حسب تعداد المان‌های سطح آزاد در عمق بی بعد $1/0.2$ در عدد فروند $0/3$

در نهایت با توجه به استقلال از شبکه جسم و سطح آزاد، هندسه شبکه‌بندی شده مرز جسم به همراه شبکه سطح آزاد در شکل ۴ و هندسه شبکه‌بندی شده مرز جسم در شکل ۵ نشان داده شده‌اند.

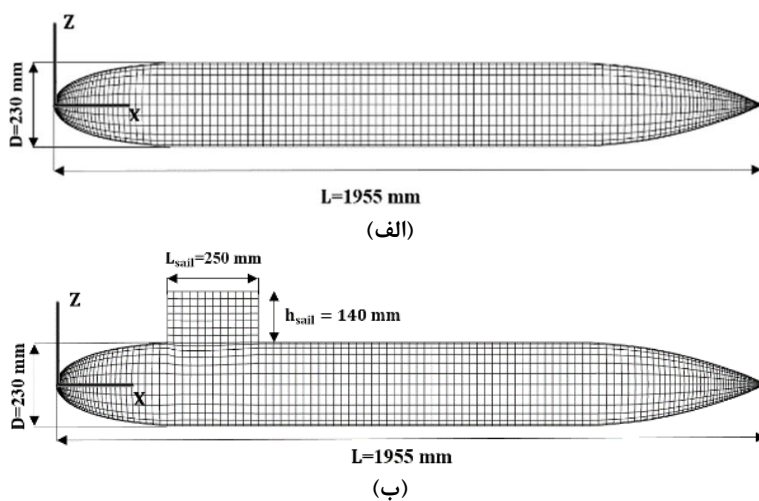
جدول ۱- مشخصات شبکه‌های سطح آزاد

شماره شبکه	n_{total}	n_y	n_x
شبکه ۱	۳۰۰	۱۰	۳۰
شبکه ۲	۱۲۰۰	۲۰	۶۰
شبکه ۳	۲۷۰۰	۳۰	۹۰
شبکه ۴	۴۸۰۰	۴۰	۱۲۰
شبکه ۵	۵۲۹۲	۴۲	۱۲۶
شبکه ۶	۵۸۰۸	۴۴	۱۳۲

به ۵۸۰۸ و ۵۲۹۲ ثابت می‌ماند. با توجه به این موضوع، شبکه شماره ۵ با تعداد المان ۵۲۹۲ برای تمامی شبیه‌سازی‌ها مورد استفاده قرار می‌گیرد.



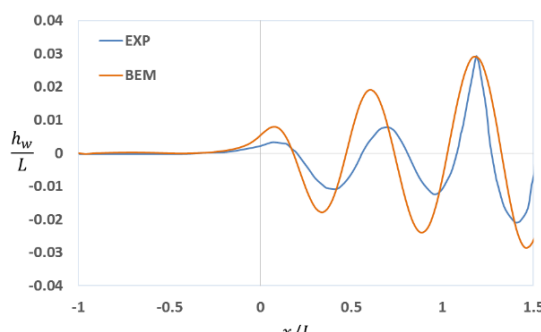
شکل ۴- هندسه شبکه‌بندی شده مرز جسم و سطح آزاد



شکل ۵- هندسه شبکه‌بندی شده جسم (الف) بدون سطح کنترل و (ب) با سطح کنترل

۱۹۵۵ میلیمتر ($L=1955\text{ mm}$) و قطر ۲۳۰ میلیمتر ($D=230\text{ mm}$) (شکل ۴-الف) انجام می‌گیرد که نتایج تجربی آن موجود است. برای اعتبارسنجی، نتایج روش المان مرزی با نتایج تجربی داسون [۱] مقایسه می‌گردد. مقایسه بین شکل موج سطح آزاد روش المان مرزی و نتایج تجربی داسون در عمق بی بعد $1/0.2$ و در عدد فرود $0/3$ در فاصله عرضی بی بعد $1/26$ ($y/D=1.26$) از خط مرکزی جسم در شکل ۷ نشان داده شده است. در این شکل محور طولی بیانگر فاصله طولی بی بعد از دماغه مدل است. با توجه به این که در تست‌های انجام شده توسط داسون، مدل با استفاده از یک استرات (نگه‌دارنده) که از بالا به کشنده حوضچه کشش متصل می‌شود نگاه داشته شده است، این استرات روی موج سطح آزاد در پایین دست خود اثر می‌گذارد؛ لذا فقط از نتایج تجربی موج سطح آزاد در ناحیه بالادست استرات ($1.5 < \frac{x}{L} < 1$) برای اعتبارسنجی نتایج روش المان مرزی استفاده می‌شود.

با توجه به شکل ۷، روش المان مرزی در بازه طولی مشخص شده توانایی پیش‌بینی شکل موج را دارد. همچنان با توجه به نتایج جدول ۲، حداکثر ارتفاع موج (h_w/L) از روش‌های تجربی [۱] و المان مرزی تفاوت بسیار ناچیزی با هم دارند که نشان دهنده دقیقی روش المان مرزی در محاسبه موج سطح آزاد است. در جدول ۲ مقدار طول موج (λ/L) روش‌های تجربی، المان مرزی و مقدار حاصل بر مبنای تئوری امواج خطی ($\lambda/L=2\pi Fr^2$) نیز با هم مقایسه شده‌اند. مقدار طول موج از روش المان مرزی و نتیجه تجربی حدود ۸ درصد با هم اختلاف دارند. از عوامل اصلی این اختلاف، می‌توان



شکل ۷- مقایسه شکل موج سطح آزاد روش المان مرزی با نتایج تجربی داسون [۱] در عمق بی بعد $1/0.2$ در عدد فرود $0/3$ برای مدل جوبرت

با توجه به استفاده از سلول‌های چهاروجهی با نسبت طول به عرض نزدیک به یک، شبکه استفاده شده برای سطح کنترل نیز مشابه شبکه سطح جسم انتخاب شده است.

۵- شرط همگرایی

در مسئله حاضر زمانی همگرایی برقرار می‌گردد که پارامتر همگرایی^۱ که برابر میانگین عددی مجموع تفاضل مقادیر پتانسیل برای همه المان‌های جسم و سطح آزاد یک تکرار به تکرار بعد می‌باشد از مقدار $10^{-5} = \epsilon$ کمتر گردد. ϵ معیار همگرایی است. پارامتر همگرایی در رابطه (۱۴) بیان شده است.

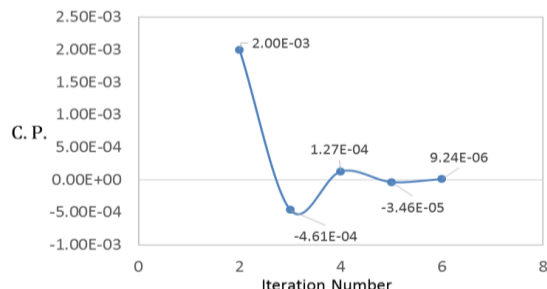
$$C.P. = \sum_{j=1}^N \left(\frac{(\Phi_i - \Phi_{i-1})_j}{N} \right) \quad (14)$$

در رابطه فوق $C.P.$ پارامتر همگرایی، Φ_i پتانسیل المان در تکرار i ام، Φ_{i-1} پتانسیل المان در تکرار $i-1$ ام، N تعداد کل المان‌های جسم و سطح آزاد و ϵ شماره المان است.

شکل ۶ تغییر پارامتر همگرایی بر حسب شماره تکرار حل برای مدل جوبرت بدون سطح کنترل در عدد فرود $0/3$ و عمق بی بعد $1/0.2$ را نشان می‌دهد. همانطور که مشخص است، در تکرار ششم، پارامتر همگرایی از مقدار 10^{-5} کمتر شده و حل همگرا شده است.

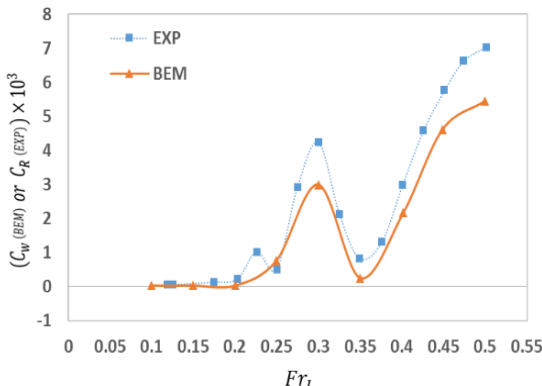
۶- اعتبارسنجی نتایج روش المان مرزی

در این قسمت اعتبارسنجی نتایج روش المان مرزی برای هندسه اصلی مسئله یعنی مدل استاندارد جوبرت با طول



شکل ۶- تغییر پارامتر همگرایی بر حسب شماره تکرار حل برای مدل جوبرت در عدد فرود $0/3$ و عمق بی بعد $1/0.2$

¹ Convergency Parameter (C.P.)



شکل ۸- مقایسه ضریب مقاومت موجی روش المان مرزی با نتایج تجربی ضریب مقاومت باقیمانده داسون [۱] در عمق بی بعد $1/0\cdot 2$ در اعداد فرود مختلف برای مدل جوبرت

که اندیس x در عبارت C_x را می‌توان برای هر کدام از ضرایب مقاومت تعریف شده در روابط (۱۵) و (۱۶) به کار برد؛ همچنین در رابطه (۱۷) R_x مقاومت مناسب با ضریب C_x ، چگالی سیال و S سطح خیس شده جسم می‌باشد.

در شکل ۸، نتایج تجربی مربوط به ضریب مقاومت باقیمانده، علاوه بر ضریب مقاومت موجی شامل ضریب مقاومت فشاری لزجی هم است، در نتیجه با توجه به فرضیات موجود در روش المان مرزی مبنی بر غیر لزج بودن جریان، ضریب مقاومت باقیمانده روش تجربی، مقدار بیشتری نسبت به ضریب مقاومت موجی بدست آمده توسط روش المان مرزی دارد. این موضوع دلیل اختلاف نتایج در شکل ۸ است.

برای نشان دادن دقیق روش المان مرزی در محاسبه مقاومت موجی، ضریب پسای موجی برای یک جسم بیضی‌گون با طول واحد و نسبت طول به قطر ۵ در بازه اعداد فرود بین $0\cdot 3/0\cdot 8$ در عمق بی بعد $1/0\cdot 8$ با نتایج داکترز و بک [۲۴] مقایسه و در شکل ۹ نشان داده شده است. نتایج، دقیق بالای روش حاضر در محاسبه مقاومت موجی را نشان می‌دهد.

۷- نتایج روش المان مرزی

پس از اعتبارسنجی نتایج روش المان مرزی، به بررسی اثر تغییر عمق غوطه‌وری جسم روی پارامترهای مختلف همچون ضریب پسای موجی، شکل موج، مشخصات موج، ضریب فشار

جدول ۲- مقایسه حداقل ارتفاع موج و طول موج در عمق بی بعد $1/0\cdot 2$ و در عدد فرود $3/0\cdot 0$ برای مدل جوبرت

	حداقل ارتفاع موج (h_w/L)	طول موج (λ/L)
تجربی [۱]	$0\cdot 293$	$0\cdot 6083$
روش المان مرزی	$0\cdot 289$	$0\cdot 5559$
تئوری امواج خطی	-	$0\cdot 5700$

به عدم در نظر گرفتن لزجت سیال در روش المان مرزی اشاره کرد.

به دلیل اینکه در تئوری خطی موج نیز لزجت سیال منظور نمی‌شود، اختلاف بین طول موج روش المان مرزی با نتیجه رابطه تئوری بسیار کمتر و حدود 2 درصد است.

نتایج مربوطه به ضریب مقاومت موجی روش المان مرزی کار حاضر و نتایج تجربی ضریب مقاومت باقیمانده^۱ داسون [۱] در عمق بی بعد $1/0\cdot 2$ و در اعداد فرود مختلف برای مدل جوبرت در شکل ۸ با هم مقایسه شده‌اند. می‌توان دلیل اصلی تفاوت موجود بین جواب‌های تجربی و روش المان مرزی را به صورت زیر بیان کرد:

مقدار مقاومت کلی قابل جداسازی به دو بخش مقاومت باقیمانده و مقاومت اصطکاکی است (رابطه (۱۵)) که در این رابطه C_T ضریب مقاومت کلی، C_R ضریب مقاومت باقیمانده و C_F ضریب مقاومت اصطکاکی است.

$$C_T = C_R + C_F \quad (15)$$

در رابطه فوق ضریب مقاومت باقیمانده را می‌توان به دو قسمت طبق رابطه (۱۶) جداسازی کرد که در این مقاومت موجی و C_{vp} ضریب مقاومت فشاری لزجی^۲ است.

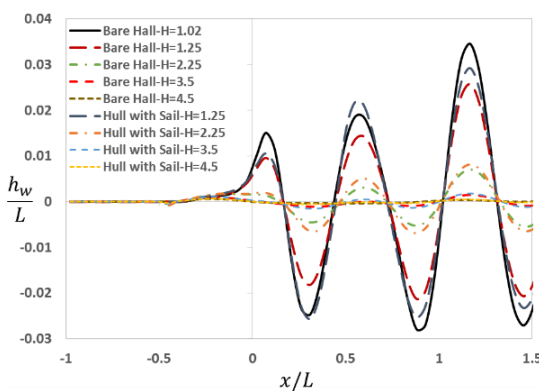
$$C_R = C_w + C_{vp} \quad (16)$$

ضرایب مقاومت به کار رفته در روابط فوق به صورت (۱۷) تعریف می‌شوند:

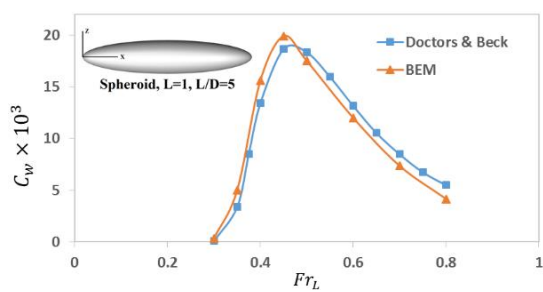
$$C_x = \frac{R_x}{\frac{1}{2} \rho U_\infty^2 S} \quad (17)$$

¹ Residual Resistance Coefficient

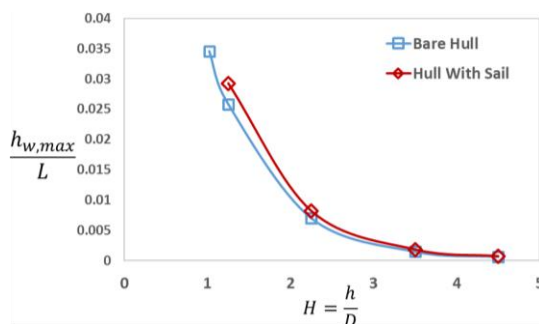
² Viscous Pressure Resistance Coefficient



شکل ۱۰- تأثیر تغییر عمق بی بعد قرارگیری جسم بر شکل-
موج سطح آزاد روی خط مرکزی جسم در عدد فرود $0/3$



شکل ۹- مقایسه نتایج ضریب مقاومت موجی روش المان
مرزی با نتایج داکترز و بک [۲۴] برای یک بیضی‌گون با
نسبت طول به قطر 5 در عمق بی بعد $0/8$



شکل ۱۱- تغییرات حداقل ارتفاع موج سطح آزاد روی خط
مرکزی جسم با عمق بی بعد در عدد فرود $0/3$

تغییر توزیع فشار روی جسم نیز می‌شود (شکل ۱۵-ب) و با نزدیکتر شدن مجموعه جسم و سطح کنترل به سطح آزاد، بهم‌کنش بین توزیع فشار و سیال ر روی جسم و سطح کنترل تا سطح آزاد، همانطور که قبلًا ذکر شد، باعث افزایش ارتفاع موج می‌گردد. همچنین دیده می‌شود که موج ناشی از حرکت جسم در نزدیکی سطح آزاد، تقریباً در بالادست لبه حمله جسم شروع می‌شود. شکل ۱۲ کانتور شکل موج سطح آزاد برای دو حالت الف-بدون سطح کنترل و ب-با سطح کنترل در عدد فرود $0/3$ و عمق بی بعد $1/25$ را نشان می‌دهد. همانطور که از شکل ۱۲ مشخص می‌شود، اضافه کردن سطح کنترل موجب افزایش توان موج و در نتیجه ارتفاع موج می‌گردد؛ همچنین الگوی موج کلوین^۱ در هر دو حالت به خوبی دیده می‌شود.

و توزیع فشار برای دو حالت با و بدون سطح کنترل برای مدل جوبرت پرداخته می‌شود.

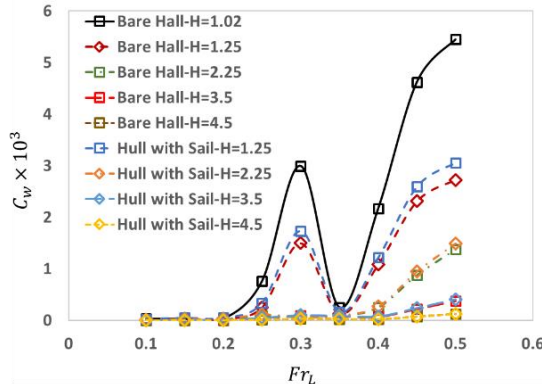
برهم‌کنش توزیع فشار دینامیکی جسم زیرسطحی و ستون آب موجود روی آن تا سطح آزاد، منجر به تولید امواج سطح آزاد می‌گردد؛ لذا می‌توان گفت، موج ایجاد شده در سطح آزاد تابع مستقیم وزن سیال روی جسم است، به طوری که هرچه عمق غوطه‌وری جسم زیادتر باشد، ارتفاع ستون سیال روی جسم تا سطح آزاد نیز بیشتر بوده و انرژی بیشتری از قدرت امواج قبل از رسیدن به سطح آزاد مستهلك می‌شود و در سطح آزاد موج با قدرت کمتری تشکیل می‌شود؛ لذا با نزدیک شدن جسم به سطح آزاد و کمتر شدن انرژی مستهلك شده در آب، ارتفاع موج تشکیل شده در سطح آزاد بیشتر می‌شود. این موضوع برای مدل جوبرت در شکل‌های ۱۰ و ۱۱ مشخص است.

مقایسه شکل موج سطح آزاد و مقدار حداقل ارتفاع موج سطح آزاد روی خط مرکزی جسم ($y=0$) برای عمق‌های مختلف در عدد فرود $0/3$ برای حالات با و بدون سطح کنترل در شکل‌های ۱۰ و ۱۱ نشان داده است. همانطور که در این دو شکل مشاهده می‌شود، با افزایش عمق غوطه‌وری جسم، ارتفاع موج سطح آزاد کاهش می‌یابد، به‌طوری که در عدد فرود $0/3$ ، حداقل ارتفاع بی بعد موج از $0/034$ در عمق بی بعد $1/02$ به $0/001$ در عمق بی بعد $3/5$ و حدود صفر در عمق بی بعد $4/5$ می‌رسد. همانطور که نتایج نشان می‌دهند، در نواحی نزدیکتر به سطح آزاد، اثر سطح کنترل روی افزایش ارتفاع موج بیشتر می‌شود، به‌طوری که در عدد فرود $0/3$ و عمق بی بعد $1/25$ باعث افزایش حدود 13 درصدی حداقل ارتفاع موج می‌شود. اضافه کردن سطح کنترل باعث

^۱ Kelvin Wave Pattern

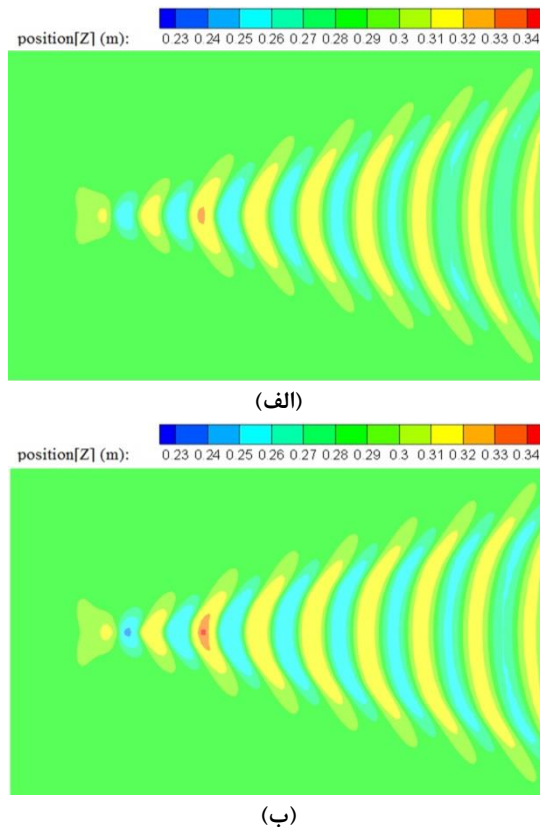
جدول ۳- مقایسه طول موج بی بعد برای عمق های مختلف در عدد فرود $0/3$ روی خط مرکزی جسم

عمق بی بعد ($H/h/D$)	طول موج بی بعد	
	بدون سطح کنترل	با سطح کنترل
۱/۰۲	۰/۵۶۲	-
۱/۲۵	۰/۵۶۱	۰/۵۵۶
۲/۲۵	۰/۵۷۳	۰/۵۶۳
۳/۵	۰/۵۹۹	۰/۵۹۱
۴/۵	-	۰/۵۷۴
تئوری ($\lambda/L = 2\pi Fr_L^2$)	۰/۵۷	۰/۵۷



شکل ۱۳- تاثیر تغییر عمق بی بعد بر ضریب مقاومت موجی در اعداد فرود مختلف برای حالات با و بدون سطح کنترل

است که با دور شدن جسم از سطح آزاد و با کم شدن اثر موج، مقدار مقاومت موجی هم کم می شود. با توجه به این که انرژی موج با ارتفاع موج متناسب است [۱۰]، می توان برای بیان تغییرات انرژی موج و در نتیجه مقاومت موجی بر حسب عدد فرود، تغییرات حداقل ارتفاع موج سطح آزاد را بررسی کرد. تغییرات حداقل موج سطح آزاد بر حسب عدد فرود برای عمق بی بعد $1/25$ و در هر دو حالت با و بدون سطح کنترل در شکل ۱۴ نشان داده شده است. همانطور که دیده می شود، الگوی تغییرات ضریب پسای موجی و ارتفاع موج نسبت به عدد فرود در ناحیه نزدیک به سطح آزاد شباهت زیادی با هم دارند و این نشان دهنده وابستگی ضریب پسای موجی به موج سطح آزاد است؛ لذا همانطور که در شکل ۱۴

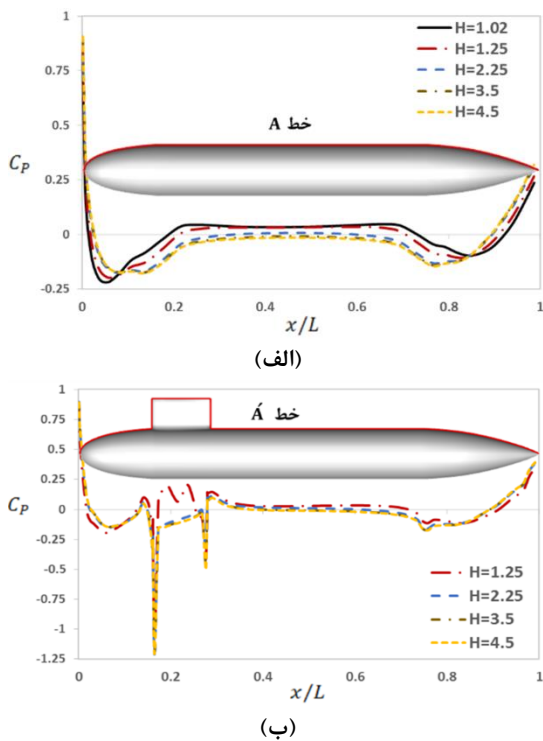


شکل ۱۲- کانتور شکل موج سطح آزاد در عدد فرود $0/3$ عمق بی بعد $1/25$ (الف) بدون سطح کنترل و (ب) با سطح کنترل

در جدول ۳ طول موج بی بعد برای عمق های مختلف روی خط مرکزی جسم در عدد فرود $0/3$ در حالات با و بدون سطح کنترل، با هم و با مقدار بدست آمده از رابطه تئوری مقایسه شده اند.

مقایسه نتایج طول موج نشان می دهد که با افزایش عمق غوطه وری، طول موج تغییر نمی کند و همچنین تطابق بسیار خوبی بین نتایج روش المان مرزی با نتیجه تئوری وجود دارد.

نتایج مربوط به اثر تغییر عمق بی بعد قرارگیری جسم بر ضریب مقاومت موجی، در اعداد فرود مختلف برای دو حالت بدون سطح کنترل و با سطح کنترل در شکل ۱۳ نشان داده شده است. مطابق شکل ۱۳، ضریب مقاومت موجی با افزایش عمق غوطه وری جسم، در همه اعداد فرود کاهش پیدا می کند. دلیل این موضوع، ویژگی های موج ایجاد شده در سطح آزاد

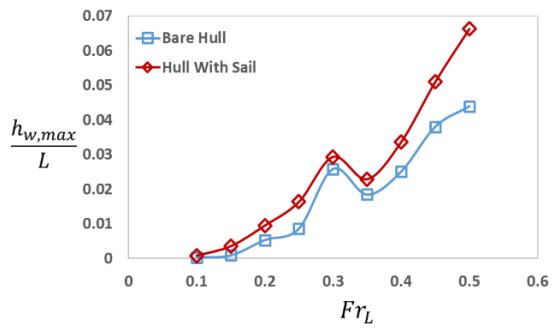


شکل ۱۵- تغییرات ضربی فشار با طول بی بعد روی خطوط A و A'، (الف) مدل بدون سطح کنترل و (ب) مدل با سطح کنترل

آن بر توزیع فشار روی جسم اثر می‌گذارد. در شکل ۱۵-ب تغییرات ناگهانی فشار در لبه‌های حمله و فرار سطح کنترل ناشی از تغییرات زیاد سرعت در آن مناطق است.

۸- نتیجه‌گیری

مطالعات انجام شده در زمینه اثر سطح آزاد بر یک جسم زیرسطحی متحرک در نزدیکی سطح آزاد، محدود به بررسی اثر سطح آزاد روی مشخصات هیدرودینامیکی و دینامیکی اجسام زیرسطحی، بدون در نظر گرفتن سطح کنترل است. در کار حاضر اثر یک سطح کنترل عمودی روی مشخصات هیدرودینامیکی و موج سطح آزاد یک مدل متقان را محوری (مدل جوبرت)، با استفاده از روش المان مزی به عنوان یک روش مبتنی بر جریان پتانسیل بررسی شده است. مقاومت موجی، شکل و ارتفاع موج سطح آزاد و توزیع فشار بر روی جسم متحرک در نزدیکی سطح آزاد در دو حالت با و بدون سطح کنترل در اعداد فرود و عمق‌های غوطه‌وری متفاوت



شکل ۱۶- حداقل ارتفاع موج بر حسب عدد فرود در عمق بی بعد ۱/۲۵ برای حالات با و بدون سطح کنترل

اضافه کردن سطح کنترل باعث افزایش ارتفاع موج شده است، در شکل ۱۳ موجب افزایش پسای موجی نسبت به حالت بدون سطح کنترل می‌گردد. مطابق شکل‌های ۱۳ و ۱۴ در نواحی نزدیک سطح آزاد، ارتفاع موج و مقدار مقاومت موجی به صورت نوسانی با عدد فرود تغییر می‌کنند، به طوری که در این نمودارها نقاط حداقل (تعقر) و حداقل (تحدب) دیده می‌شوند. نقاط حداقل در این نمودارها نشان-دهنده حالتی است که امواج تشکیل شده در نقاط متفاوت جسم هم‌دیگر را تقویت و باعث تولید موج با ارتفاع بیشتر می‌شود؛ در نتیجه انرژی موج افزایش یافته و مقدار مقاومت موجی افزایش می‌یابد. در این نمودارها نقاط حداقل مربوط به حالتی است که امواج در نقاط مختلف جسم اثر هم‌دیگر را خنثی کرده و عکس حالت قبل با کاهش مصرف انرژی موج باعث کاهش مقاومت موجی می‌شود. با افزایش عمق غوطه-وری در عمق بی بعد ۱/۲۵، اثرات سطح آزاد کاهش پیدا کرده و نوسانات موجود در نمودارهای ارتفاع موج و مقاومت موجی نیز کم می‌شود.

نمودار تغییرات ضربی فشار بر حسب طول بی بعد روی خطوط A و A' در عمق‌های بی بعد مختلف و در عدد فرود ۰/۳ در شکل ۱۵-الف و ب به ترتیب برای دو حالت بدون سطح کنترل و با سطح کنترل نشان داده شده است. بر اساس شکل، مشخص است که برای هر دو حالت، با کاهش عمق، میزان افت فشار در امتداد این خطوط به واسطه افزایش مقاومت موجی افزایش می‌یابد؛ یعنی نزدیک سطح آزاد یک برهم‌کنش متقابل بین جسم زیرسطحی و سطح آزاد وجود دارد، به طوری که حرکت جسم باعث تولید امواج روی سطح آزاد شده و امواج تولیدی و در نتیجه مقاومت موجی ناشی از

- diameter ratio on the near-surface operation of conventional submarines. PhD thesis, University of Tasmania, Hobart, Australia.
- [2] Saout O, Ananthakrishnan P (2011) Hydrodynamic and dynamic analysis to determine the directional stability of an underwater vehicle near a free surface. *Appl Ocean Res* 33: 158-167.
- [3] Amiri M M, Sphaier S H, Vitola, MA, Esperança, P T (2020) Viscosity effect on an underwater vehicle-free surface hydrodynamic interaction. *Appl Ocean Res* 104 (2020) 102365.
- [4] Jagadeesh P, Murali K (2010) RANS predictions of free surface effects on axisymmetric underwater body. *Eng Appl Comput Fluid Mech* 4 (2): 301-313.
- [5] Wilson-Haffenden S, Renilson M, Ranmuthugala D, Dawson E, et al (2010) An investigation into the wave making resistance of a submarine travelling below the free surface. International Maritime Conference 2010: Maritime Industry-Challenges, Opportunities and Imperatives, Sydney, Australia.
- [6] Mansoorzadeh S, Javanmard E (2014) An investigation of free surface effects on drag and lift coefficients of an autonomous underwater vehicle (auv) using computational and experimental fluid dynamics methods. *J Fluids Struct.* 51:161-171.
- [7] Nematollahi A, Dadvand A, Dawoodian M (2015) An axisymmetric underwater vehicle-free surface interaction: A numerical study. *Ocean Eng.* 96: 205-214.
- [8] Salari M, Rava A (2017) Numerical investigation of hydrodynamic flow over an auv moving in the water-surface vicinity considering the laminar-turbulent transition. *J Mar Sci Appl* 16(3): 298-304.
- [۹] شریعتی س خ، موسوی زادگان س ح (۱۳۹۸) بررسی عددی و آزمایشگاهی حرکت یک شناور زیرسطحی در نزدیکی سطح آزاد. نشریه مهندسی مکانیک امیرکبیر ۵۱(۲): ۳۴۷-۳۶۴
- [10] Maali AA, Esperança PT, Vitola MA, Sphaier SH (2018) How does the free surface affect the hydrodynamics of a shallowly submerged submarine?. *Appl Ocean Res* 76(2018): 34-50.
- [11] Amiri MM, Sphaier SH, Vitola MA, Esperança PT (2019) URANS investigation of the interaction between the free surface and a shallowly submerged underwater vehicle at steady drift. *Appl Ocean Res* 84: 192-205.
- [12] Maali AA, Esperança PT, Vitola MA, Sphaier SH (2020) An initial evaluation of the free surface effect on the maneuverability of underwater vehicles. *Ocean Eng* 196(2020): 106851.
- بدست آمده است. مهم‌ترین یافته‌های تحقیق حاضر عبارتند از:
- مقایسه نتایج روش المان مرزی و نتایج تجربی، در حالت حداقل ارتفاع موج سطح آزاد و در عمق بی‌بعد ۱/۰۲ خطایی کمتر از ۲ درصد و برای ضریب مقاومت موجی جسم بیضی‌گون، خطای متوسط حدود ۱۷ درصد در اعداد فرود مختلف، را نشان می‌دهد.
 - با افزایش عمق غوطه‌وری جسم، ارتفاع موج سطح آزاد کاهش می‌یابد، به طوری که در عدد فرود ۰/۳ آزاد ارتفاع بی‌بعد موج از ۰/۰۳۴ در عمق بی‌بعد ۱/۰۲ به ۰/۰۰۱ در عمق بی‌بعد ۳/۵ و حدود صفر در عمق بی‌بعد ۴/۵ می‌رسد.
 - با نزدیک‌تر شدن مجموعه جسم و سطح کنترل به سطح آزاد، برهمنکنش بین توزیع فشار و سیال روی جسم و سطح کنترل تا سطح آزاد، باعث افزایش ارتفاع موج می‌شود، به طوری که در عدد فرود ۰/۳ و عمق بی‌بعد ۱/۲۵، حداقل ارتفاع موج حدود ۱۳ درصد افزایش می‌یابد.
 - با افزایش عمق غوطه‌وری، طول موج تغییر نمی‌کند و تطابق بسیار خوبی بین نتایج روش المان مرزی با نتیجه تئوری طول موج وجود دارد.
 - ضریب پسای موجی، وابستگی زیادی به موج سطح آزاد دارد. بنابراین در نواحی نزدیک به سطح آزاد که موج قویتری تشکیل می‌شود، مقدار ضریب پسا نیز بیشتر است.
 - اضافه کردن سطح کنترل موجب افزایش مقاومت موجی با کاهش عمق می‌گردد، به طوری که در عمق بی‌بعد ۱/۲۵ این موضوع باعث افزایش متوسط ۱۶ درصدی مقاومت موجی در بازه اعداد فرود بین ۰/۳ تا ۰/۵ می‌شود.
 - در نواحی نزدیک سطح آزاد، نمودارهای ارتفاع موج و مقدار مقاومت موجی به صورت نوسانی با عدد فرود تغییر می‌کنند.

۹- مراجع

- [1] Dawson E (2014) An investigation into the effects of submergence depth, speed and hull length-to-

- [26] Belibassakis K, Gerostathis TP, Politis C, Kaklis P, Ginnis A, Mourkogianis D (2009) A novel bemsogeometric method with application to the wavemaking resistance problem of bodies at constant speed. Intern. Maritime Association Mediterranean Conference. IMAM.
- [27] Gourlay T, Dawson, E (2014) A Havelock-source panel method for near-surface submarines. Journal of Ship Research, Society of Naval Architects and Marine Engineers, Virginia, USA.
- [28] Arzhannikov AV, Kotelnikov IA (2016) Excitation of ship waves by a submerged object: New solution to the classical problem. Phys Rev E 94(2): 023103.
- [29] Benusiglio A, Chevy F, Raphael E, Clanet C (2015) Wave drag on a submerged sphere. Phys Fluids 27(7): 072101.
- [30] Saout O, Ananthakrishnan P (2011) Hydrodynamic and dynamic analysis to determine the directional stability of an underwater vehicle near a free surface. Appl Ocean Res 33(2): 158-167.
- [31] Noblesse F, Huang F, Yang C (2017) The Neumann–Michell theory of ship waves. J Eng Math 79: 51-71.
- [32] Sclavounos PD, Nakos DE (1988) Stability analysis of panel methods for free surface flows with forward speed. 17th Symposium on Naval Hydrodynamics, Netherlands.
- [33] Bal S, Kinnas SA (2002) A Bem for the prediction of free surface effect on cavitating hydrofoils. Comput Mech 28(3): 260-274.
- [34] Dawson DW (1977) A practical computer method for solving shipwave problems. 2nd International Conference on Numerical ShipHydrodynamics.
- [۳۵] نوروزی م، پسندیده‌فرد م، جوارشکیان مج (۱۳۹۵) تحلیل سه بعدی جریان همراه با کاویتاسیون حول پرتابه‌ها در زوایای حمله مختلف با استفاده از روش المان مرزی بر پایه پتانسیل. پایان نامه دکتری، دانشگاه فردوسی مشهد.
- [13] Kostyukov AA (1959) Theory of ship waves and wave resistance. Iowa City, Effective Communications Inc.
- [14] Lamb H (1913) On some cases of wave motion on deep water. Annali di Matematica 21: 237-250.
- [15] Farrel C (1973) On the Wave resistance of a submerged spheroid. J Ship Res 17: 1-11.
- [16] Havelock TH (1917) Some cases of wave motion due to a submerged obstacle. Proc R Soc Lond 93: 520-532.
- [17] Havelock TH (1931a) The wave resistance of a spheroid. Proc R Soc Lond 131: 275-285.
- [18] Havelock TH (1931b) The wave resistance of an ellipsoid. Proc R Soc Lond 132: 480-486.
- [19] Hess JL, Smith AMO (1964) Calculation of nonlifting potential flow about arbitrary three-dimensional bodies. J Ship Res 8(2): 22-44.
- [20] Bhattacharyya R (1965) Über die berechnung des wellenwiderstandes nach verschiedenen verfahren und vergleichmit einigen experimentellen ergebnissen. Inst. für Schiffbau der Universität Hamburg, Hamburg. (In German)
- [21] Guével P, Delhommeau G, Cordonnier JP (1977) Numerical solution of the Neumann-Kelvin problem by the method of singularities. 2nd International Conference on Numerical Ship Hydrodynamics, Berkeley 107-123.
- [22] Hong YS (1983) Computation of nonlinear wave resistance. David W Taylor Naval Ship Research and Development Center, Bethesda, USA, 104-126.
- [23] Wigley WCS (1953) Water forces on submerged bodies in motion. Transactions, Institute of Naval Architects 95: 268-279.
- [24] Doctors L Beck R (1987) Convergence Properties of the Neumann-Kelvin Problem for a Submerged Body. J Ship Res 31: 227-234.
- [25] Crook TP (1994) An Initial assessment of free surface effects on submerged bodies. MSc Mechanical Engineering, Naval Postgraduate College, USA.